

无锡轻工业学院

硕士研究生学位论文

题目：淀粉生产用微型圆柱旋

流器基本性能的研究

研究生：袁惠新

指导教师：陆振曦、高福成

一九八七年五月二十日

分类号

硕士学位论文

题目: 淀粉生产用微型圆柱旋流器基本性能的研究英文并列题目: A STUDY OF PERFORMANCE OF THE MINIATURECYLINDRICAL HYDROCYCLONE USED IN THE BLEACH INDUSTRY研究生: 袁惠新 专业: 食品机械研究方向: 食品机械原理导师: 陆振曦副教授 高福成副教授

学位授予日期: _____

一九八七年五月二十日

无锡轻工业学院

地址: 无锡市青山湾

无锡轻工业学院研究生论文纸

摘要

本文研究了圆柱形旋流器的速进场和基本性质。通过理论分析推导了圆柱形旋流器内主体部分直径场的近似描述，并通过理论分析和性能试验研究了用于淀粉生产的圆柱形旋流器的压力降和边界粒径，得到了压力降和边界粒径的理论预测方程。结果表明，在本实验范围内，压力降理论值和实验值一致；当 $d_0/d_c \leq 0.3$ 时，边界粒径理论式能对圆柱形旋流器的效率进行预测。

通过对比试验，对本研究条件下得到的最佳圆柱形旋流器和华北制药厂仿美的圆锥形旋流器进行了性能比较，结果表明：圆柱形旋流器比圆锥形旋流器分离能力要小些，但能耗小。圆柱形旋流器的结构设计很有潜力可挖。本文对此提出了新的设想。

ABSTRACT

A theoretical analysis of the velocity field and performance of the cylindrical hydrocyclone is presented. The development of a much simplified model for the flow in the main body of the cylindrical hydrocyclone is explained. The success of this simple rotational flow model describing the fluid velocity distribution allows an analysis of the pressure drop and cut size of the cylindrical hydrocyclone used in the starch industry to be carried out. The results are compared favourably with experimental data.

The contrast experiment is made to compare the performance of the cylindrical hydrocyclone with that of the commercial conical one. It is shown that the cut size of the cylindrical hydrocyclone is bigger than that of the conical one while the pressure drop of the cylindrical hydrocyclone is less than that of the conical one.

The design of the structure of the miniature cylindrical hydrocyclone has great potentialities. This present paper provides a new idea about that.

无锡轻工业学院研究生论文纸

目 录

摘要

前言

一、圆柱形旋流器的速进场及性能预测方程的推导

(一)速进场

(二)压降

(三)边界粒径

二、试验

(一)原料

(二)旋流器模型

(三)实验方法、仪器及设备

(四)实验过程、结果分析

(1)试验一：多因素区分支试验

(2)试验二：最佳结构验证试验

(五)结果讨论

三、常数 α 和 β 的确定及理论关系式的验证

(一)常数 α 和 β 的确定

(二)理论关系式的验证

四、对比性试验

无锡轻工业学院研究生论文纸

(一)方法

(二)结果及讨论

结论

致谢

符号说明

参考资料

附录

装

订

线

无锡轻工业学院研究生论文纸

前言

旋液分离器(简称旋流器),作为一种有效的分离设备,是立第二次世界大战以后,首先在荷兰国立采砂厂成功地用于选矿。这使人们对旋流器产生了浓厚的兴趣,从而导致了对旋流器广泛的研究和应用。就分离对象来讲,它可用于固一液、固一固、液一液和气一液等分离过程;就工业应用而言,它可用于浓缩、澄清(如机器冷却液和生产用水的净化)、除石、去砂、洗涤^[17],等等。除了用于分离外,旋流器也可用于混合,还可用于分级^[18]、体质、雾化,等等。在淀粉生产中,旋流器可用于除石、去砂、胚芽分离、浓缩和洗涤精制,等等。

我国在旋流器研究方面,起步较晚。鉴于食品工业,特别是淀粉生产工业发展的需要,在“七·五”计划中,旋流器已被列为食品工业重点攻关项目之一。

旋流器的结构比较简单。图1为一种圆柱形旋流器,它有一个切向入口和两个轴向出口——溢流口和底流口。圆柱形内胆是物料在其内高速

无锡轻工业学院研究生论文纸

旋转、分离的分离腔。

旋流器系利用离心力使料液中粒径和密度不同的两种物料获得不同的沉降速度而分离的设备。

对于图一

液分离用的旋

流器，如图 1

所示，料液以

一定的速度以

切向入口进入

旋流器，随后

立腔内高速旋

转。粒径和密

度大的颗粒受

到的离心力大，

从而沉降速度

大，被甩向器

壁，并随转速

降低，作为底流

排出；而粒径

和密度小的颗粒受到的离心力小，从而沉降速度小，

甚至被液流推向中心，随转速升，作为溢流排出。

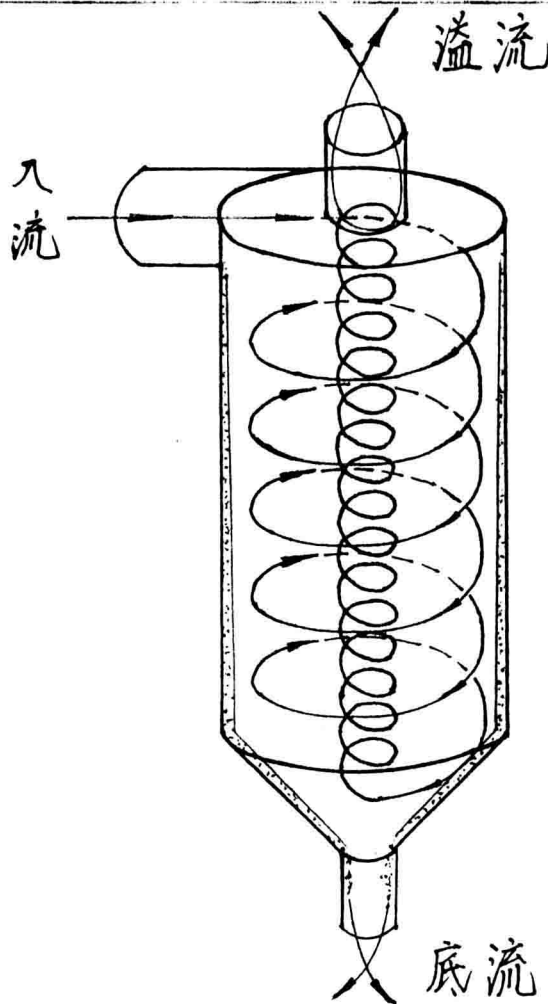


图 1 旋流器工作原理图

共 66 页 第 2 页

无锡轻工业学院研究生论文纸

由离心沉降原理知，颗粒在离心力场中受到的离心力为

$$G \propto \frac{V_p^2}{r}$$

且靠近圆柱壁面处

$$G \propto \frac{V_i^2}{r_c}$$

当入口速度以一定时，旋流器分离腔半径 r_c 越小，离心力 G 越大，分离作用又越大。因此，微型旋流器具有更大的分离能力。虽然单个的微型旋流器生产能力很小，但可以通过并联一定数目的微型旋流器来达到所需生产能力。

衡量旋流器性能的指标一般有两个：能耗和分离效率。通常用压力降 ΔP 来反映能耗，用边界粒径 x_{50} 来反映分离效率。 x_{50} 越小，分离效率越高，反之，分离效率越低。

旋流器与其它分离设备比较，具有许多独特的优点。它没有转动部件，结构简单，占用空间小，分离效率高，用途广，比离心机能耗小，且易于实现自动化控制。

但是，由于旋流器内流体流动的复杂性，很难对旋流器进行理论研究。五十年代初，凯萨尔 (Kesal)

无锡轻工业学院研究生论文纸

5a11)^[1] 用实验曲线描绘了圆锥形旋流器内速度分布。五十年代末，布雷特利(Bradley)^[2] 用车衡轨道理论，在 $Q_i = 10 \text{ l/min}$ 的条件下，推导了圆锥形旋流器边界粒径的理论表达式。六十年代初，里特马(Rietema)^[3] 根据凯萨尔的实验速度分布，用“停留时间理论”导出了一 个旋流器特性数(characteristic cyclone number)。

$$C_{y50} = \frac{x_{50}^2 \Delta p}{\mu} \cdot \lambda \frac{(\Delta p)_t}{\rho Q_i} \quad (1)$$

并根据这一指标，在实验中通过改变旋流器的几何比例而得到圆锥形旋流器的最佳结构。到八十年代初，布罗(Bloor)^[4] 推导了关于圆锥形旋流器速度场的数学表达式，并用边界层理论研究了圆锥形旋流器的分离效率。

前人对于旋流器的研究，绝大部分是关于圆锥形旋流器的。至今，尚未见到有关圆柱形旋流器的研究性资料。

本文试图以理论分析和实验研究相结合的方法，对淀粉生产用微型圆柱旋流器的基本性能进行初步的探讨。

首先，将流体运动的连续性方程和运动方程用于圆柱形旋流器，在合理的假设基础上，求解

无锡轻工业学院研究生论文纸

微分方程，从而得到速度场的理论表达式；

第二步：根据求得的速度场，推出阻力降理论表达式；

第三步：用“停留时间理论”研究边界粒径，得出边界粒径的理论表达式；

第四步：通过对多种结构比例的圆柱形旋流器进行正文试验，确定圆柱形旋流器的最佳结构；

第五步：根据最佳结构和阻力降实验数据，确定理论表达式中的入口速度损失系数和流型常数，并通过实验，验证此理论表达式；

第六步：对本研究条件下得到的最佳结构的圆柱形旋流器和华北制药厂仿制的圆锥形旋流器进行试验比较。

本文研究的边界粒径为凯萨尔边界粒径^{[8], [10]}，即凯萨尔效率 $E_K(x) = 0.5$ 所对应的粒径 x_{50} (如图 2 所示)。凯萨尔效率 E_K 的计算用“O-U 组合法”(即用溢流和底流样品的分析结果计算分离效率)，因为用这种方法计算产生的误差比其他组合法都小^[5]。

对于某一粒径为 x 的颗粒，其分离效率为

无锡轻工业学院研究生论文纸

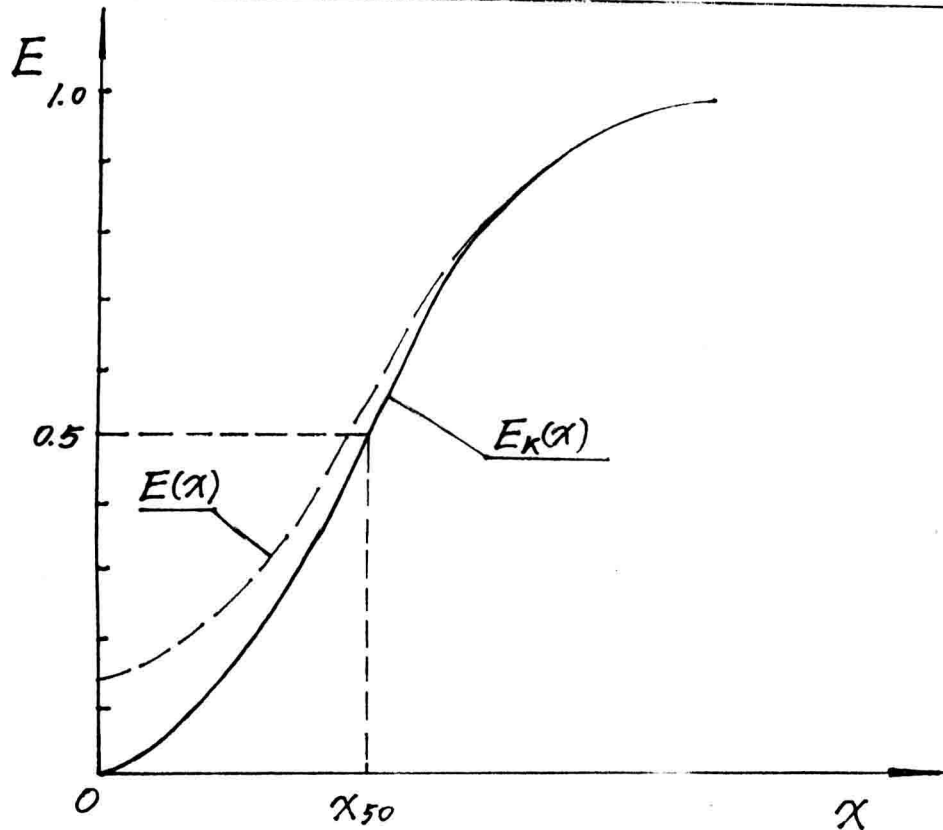


图2 旋流器效率曲线

$$E(x) = \frac{1}{1 + \left(\frac{1}{E_T} - 1\right) \frac{f_o(x)}{f_u(x)}}$$

$$= \frac{1}{1 + \frac{M_o f_o(x)}{M_u f_u(x)}} \quad (2)$$

式中

$$E_T = \frac{M_u}{M_i}, \text{ 为总效率;}$$

无锡轻工业学院研究生论文纸

M_i 、 M_o 、 M_u 分别为进料、溢流和底流中的固体质量流量；

$f_o(x)$ 、 $f_u(x)$ 分别为溢流和底流中固体颗粒的粒度频率分布。

考虑到底流分股对效率的影响，对式(2)进行修正，得到凯萨尔效率

$$E_K(x) = \frac{E(x) - R_f}{1 - R_f} \quad (3)$$

式中

$$R_f = \frac{Q_u}{Q_i}$$

将式(2)代入式(3)，并考虑到

$$S = \frac{Q_u}{Q_i}$$

$$M = Q \cdot C \quad (C \text{ 为悬浊液浓度, } kg/m^3)$$

⑥

$$E_K(x) = S \left[\frac{s+1}{s + \frac{C_o f_o(x)}{C_u f_u(x)}} - 1 \right] \quad (4)$$

无锡轻工业学院研究生论文纸

凯萨尔效率 E_K 是考虑离心作用损失的分离效率，因此，亦称离心效率 (centrifugal efficiency)。本文是由实验数据 S 、 C_0 、 C_m 、 $f_0(x)$ 及 $f_m(x)$ 计算出 $E_K(x)$ 后，用内插法求 $\beta_{x_{50}}$ 的实验值。

装

订

线

无锡轻工业学院研究生论文纸

一、圆柱形旋流器的进液场和性能预测方程的推导

(一) 进液场

(1) 由流体运动基本方程 $\text{B}^{[6]}$

$$\left\{ \begin{array}{l} \frac{1}{\rho} \frac{DP}{Dt} + \nabla \cdot \vec{V} = 0 \quad (\text{连续性方程}) \\ \frac{D\vec{V}}{Dt} = \vec{f} - \nabla P/\rho \quad (\text{运动方程}) \end{array} \right.$$

式中

\vec{f} —— 单位质量的流体所受的外力(质量力)

P —— 压力增量, 对于理想流体

$$P = -P \begin{bmatrix} 1 & 0 & 0 \\ 0 & 1 & 0 \\ 0 & 0 & 1 \end{bmatrix}$$

(2) 假设

① 流体为纯液体或浓度很小的悬浊液, 忽略固体颗粒对流体流动的影响;

② 流体不可压缩, 即 $\rho = \text{常数}$;

③ 流体为理想流体, 即 $\mu = 0$;

④ 旋流器内的流动为定常流动, 即 $\frac{\partial}{\partial t} = 0$;

无锡轻工业学院研究生论文纸

⑤忽略质量外力，即 $f = 0$ 。

关于假设的合理性：

1) 本研究实验用悬浊液体积浓度 $C_v \approx 2\%$ ，可以忽略颗粒对流体流动的影响^[5]；

2) 由于在正常工作的旋流器内，压力变化不是很大 ($< 10 \text{ kg/cm}^2$)，所以，可以认为液体的密度为常数^[6]；

3) 本研究只考虑边界层以外的流体，其直径梯度较小，流体的粘性力与惯性力相比要小得多，因此，理想流体的假设对分析旋流器主体部分流体的主要特性影响不大。但考虑到实验用悬浊液的粘性 (粘度 0.8 CP 左右)，对理想流体假设的分析结果还要进行适当的修正；

4) 在正常工作条件下，旋流器内的流动可以认为是定常流动；

5) 在一般工作条件下，旋流器内流体所受的质量外力只有重力，而离心力与重力之比，即分离因数^[18]为

$$a = \frac{\frac{V_\theta^2}{r}}{g}$$

对于微型旋流器，分离因数 a 在 $3000 \sim 5000$ 以上，换句话说，离心力是重力的 $3000 \sim 5000$ 倍以上，所以，可忽略重力的影响。

无锡轻工业学院研究生论文纸

(3) 无方程组的简化

根据假设②, 式(1-1)可简化为

$$\nabla \cdot \vec{V} = 0 \quad (1-3)$$

根据假设③、⑤, 式(1-2)可简化为

$$\frac{D\vec{V}}{Dt} = -\frac{1}{\rho} \nabla p \quad (1-4)$$

而

$$\frac{D\vec{V}}{Dt} = \frac{\partial \vec{V}}{\partial t} + (\vec{V} \cdot \nabla) \vec{V} \quad (1-5)$$

根据假设④, 有

$$\frac{\partial \vec{V}}{\partial t} = 0$$

则式(1-5)为

$$\frac{D\vec{V}}{Dt} = (\vec{V} \cdot \nabla) \vec{V}$$

将此式代入式(1-4), 有

$$(\vec{V} \cdot \nabla) \vec{V} = -\frac{1}{\rho} \nabla p \quad (1-6)$$

立柱坐标内展开式(1-6), 并考虑到旋流器内流动的轴对称性, 即 $\frac{\partial}{\partial \varphi} = 0$, 以及 $\frac{\partial V_r}{\partial \varphi} = 0^{[1]}$, 有

$$\left\{ V_r \frac{\partial V_r}{\partial r} - \frac{V_\theta^2}{r} + V_\theta \frac{\partial V_r}{\partial \theta} = -\frac{1}{\rho} \frac{\partial p}{\partial r} \right. \quad (1-7)$$